

# [Photos]

Objektyp: **Chapter**

Zeitschrift: **Mémoires de la Société Vaudoise des Sciences Naturelles**

Band (Jahr): **11 (1955-1956)**

Heft 2

PDF erstellt am: **11.07.2024**

## **Nutzungsbedingungen**

Die ETH-Bibliothek ist Anbieterin der digitalisierten Zeitschriften. Sie besitzt keine Urheberrechte an den Inhalten der Zeitschriften. Die Rechte liegen in der Regel bei den Herausgebern.

Die auf der Plattform e-periodica veröffentlichten Dokumente stehen für nicht-kommerzielle Zwecke in Lehre und Forschung sowie für die private Nutzung frei zur Verfügung. Einzelne Dateien oder Ausdrucke aus diesem Angebot können zusammen mit diesen Nutzungsbedingungen und den korrekten Herkunftsbezeichnungen weitergegeben werden.

Das Veröffentlichen von Bildern in Print- und Online-Publikationen ist nur mit vorheriger Genehmigung der Rechteinhaber erlaubt. Die systematische Speicherung von Teilen des elektronischen Angebots auf anderen Servern bedarf ebenfalls des schriftlichen Einverständnisses der Rechteinhaber.

## **Haftungsausschluss**

Alle Angaben erfolgen ohne Gewähr für Vollständigkeit oder Richtigkeit. Es wird keine Haftung übernommen für Schäden durch die Verwendung von Informationen aus diesem Online-Angebot oder durch das Fehlen von Informationen. Dies gilt auch für Inhalte Dritter, die über dieses Angebot zugänglich sind.

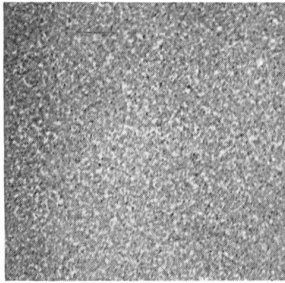


PHOTO E 1.

Lame de  $0,8 \text{ m}\mu$  déposée à  $0,7 \text{ m}\mu/\text{min}$ .  
sur un support à  $27^\circ \text{C}$   
Observation microscopique à  $9 \text{ W}/\text{cm}^2$ .

$1 \mu$

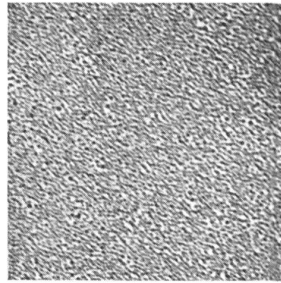


PHOTO E 2.

Lame de  $2,6 \text{ m}\mu$  déposée à  $6 \text{ m}\mu/\text{min}$ .  
sur un support à  $27^\circ \text{C}$   
Observation microscopique à  $9 \text{ W}/\text{cm}^2$ .

$1 \mu$

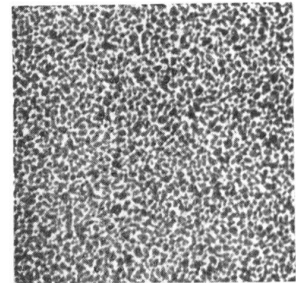
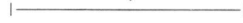


PHOTO E 3.

Lame de  $7 \text{ m}\mu$  déposée à  $0,5 \text{ m}\mu/\text{min}$ .  
sur un support à  $20^\circ \text{C}$   
Observation microscopique à  $9 \text{ W}/\text{cm}^2$ .

$1 \mu$

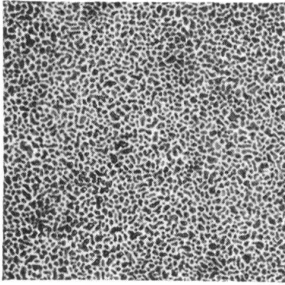
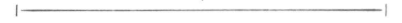


PHOTO E 4.

Lame de  $8,7 \text{ m}\mu$  déposée à  $0,5 \text{ m}\mu/\text{min}$ .  
sur un support à  $25^\circ \text{C}$   
Observation microscopique à  $9 \text{ W}/\text{cm}^2$ .

$1 \mu$

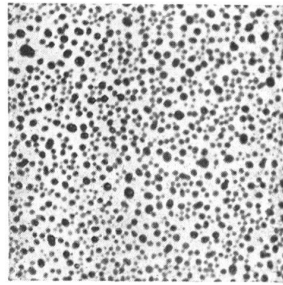
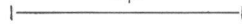


PHOTO E 5.

Même lame que E 4, mais observée  
avec une puissance de  $500\text{-}600 \text{ W}/\text{cm}^2$ .

$1 \mu$

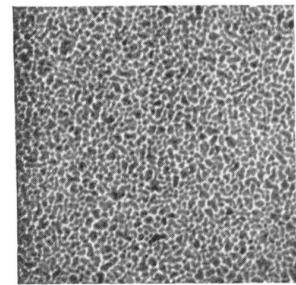
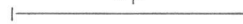
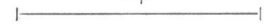


PHOTO E 6.

Lame de  $12 \text{ m}\mu$  déposée à  $0,5 \text{ m}\mu/\text{min}$ .  
sur un support à  $25^\circ \text{C}$   
Observation microscopique à  $9 \text{ W}/\text{cm}^2$ .

$1 \mu$





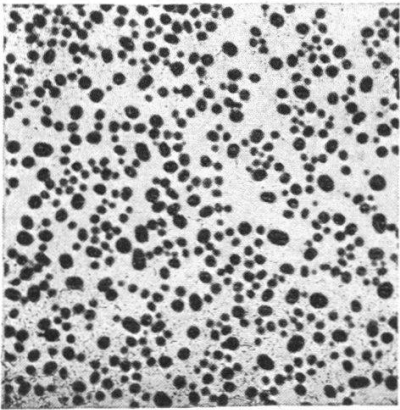


PHOTO E.7.

Même lame que E.6, mais observée avec une puissance de 500-600 W/cm<sup>2</sup>.

1 μ

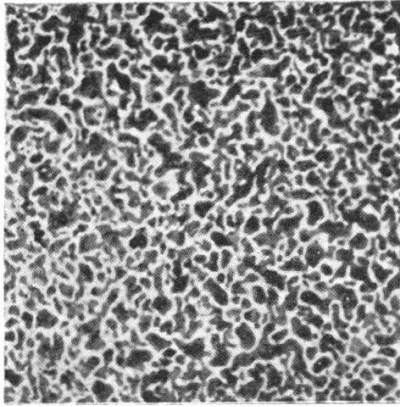


PHOTO E.8.

Lame de 12 mμ déposée à 0,5 mμ/min. sur un support à 26° C  
Observation microscopique à 9 W/cm<sup>2</sup>.

1 μ

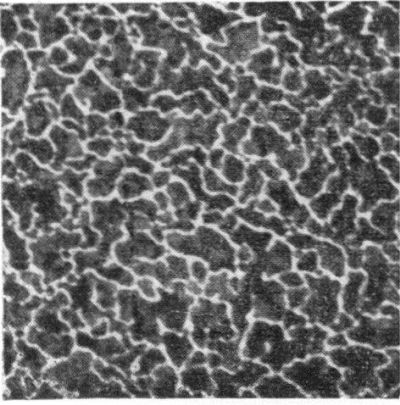


PHOTO E.9.

Lame de 14 mμ déposée à 7 mμ/min. sur un support à 25° C  
Observation microscopique à 9 W/cm<sup>2</sup>.

1 μ

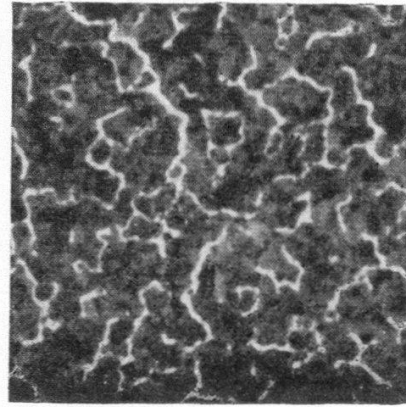


PHOTO E.10.

Lame de 18 mμ déposée à 5 mμ/min. sur un support à 19° C  
Observation microscopique à 9 W/cm<sup>2</sup>.

1 μ

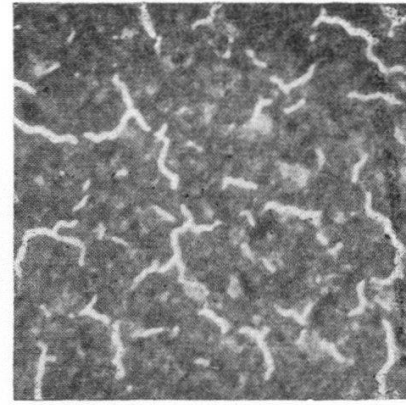


PHOTO E.11.

Lame de 21 mμ déposée à 40 mμ/min. sur un support à 19° C  
Observation microscopique à 9 W/cm<sup>2</sup>.

1 μ

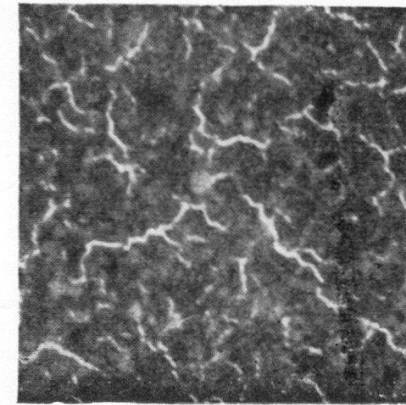


PHOTO E.12.

Lame identique à E.11, mais déposée à 8 mμ/min.  
Observation microscopique à 9 W/cm<sup>2</sup>.

1 μ



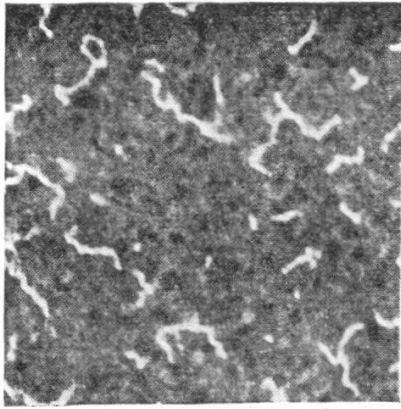


PHOTO E 13.

Lame identique à E 11 et E 12, mais déposée à 2 m $\mu$ /min. (support à 22° C)

1  $\mu$  |

### EVAPORATIONS RAPIDES

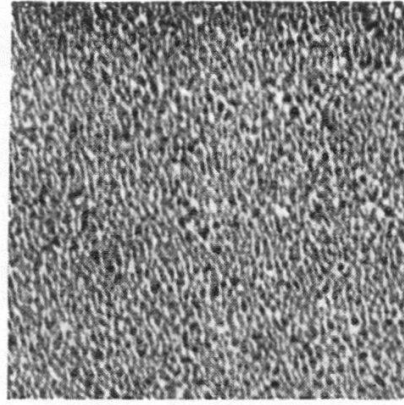


PHOTO E 16.

Lame de 4,7 m $\mu$  déposée à 12 m $\mu$ /min. sur un support à 25° C

Observation microscopique à 9 W/cm<sup>2</sup>.

1  $\mu$  |

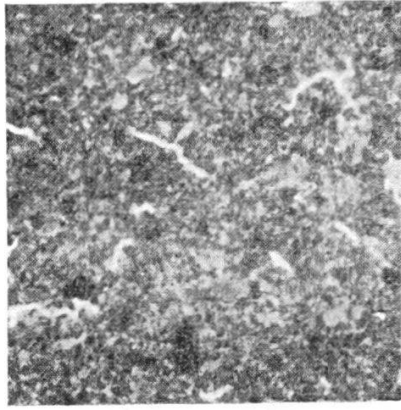


PHOTO E 14.

Lame de 25 m $\mu$  déposée à 3 m $\mu$ /min. sur un support à 22° C

Observation microscopique à 9 W/cm<sup>2</sup>.

1  $\mu$  |

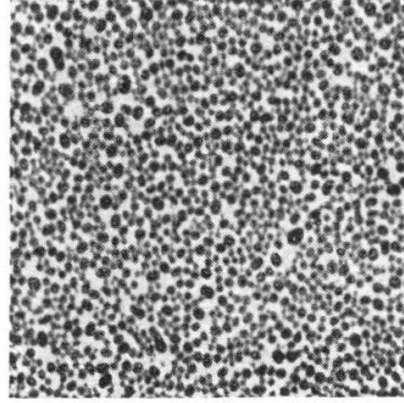


PHOTO E 17.

Même lame que E 16, mais observée avec une puissance de 500-600 W/cm<sup>2</sup>.

1  $\mu$  |

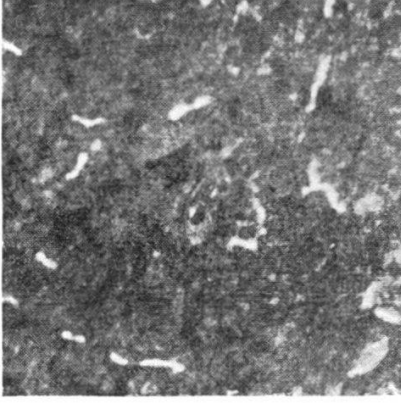


PHOTO E 15.

Lame de 34 m $\mu$  déposée à 4 m $\mu$ /min. sur un support à 19° C

Observation microscopique à 9 W/cm<sup>2</sup>.

1  $\mu$  |

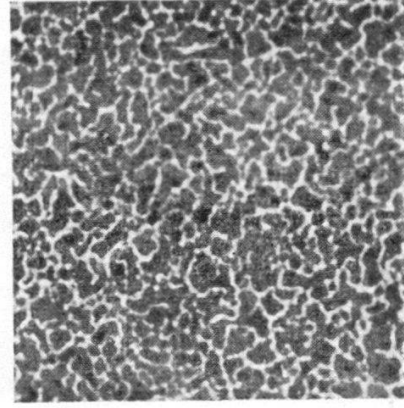


PHOTO E 18.

Lame de 7 m $\mu$  déposée à 200 m $\mu$ /min. sur un support à 20° C

Observation microscopique à 9 W/cm<sup>2</sup>.

1  $\mu$  |



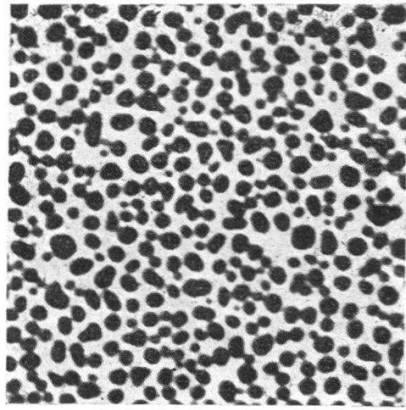


PHOTO E 19.

Même lame que E 18, mais chauffée à 100° C pendant 5.00 h.  
Observation microscopique à 9 W/cm<sup>2</sup>.

1 μ

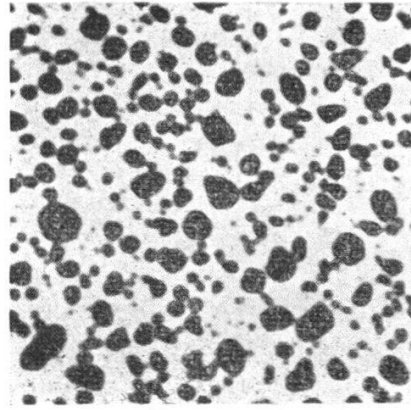


PHOTO E 20.

Même lame que E 18, mais observée avec une puissance de 500-600 W/cm<sup>2</sup>.

1 μ

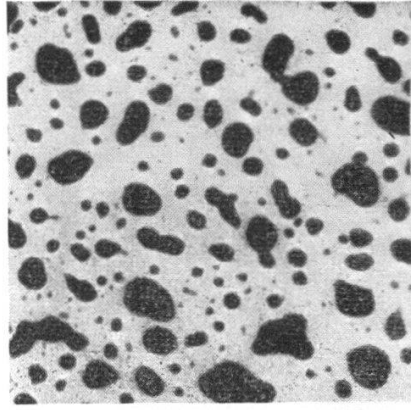


PHOTO E 21.

Même lame que E 18, mais chauffée à 160° C pendant 5.00 h.  
Observation microscopique à 9 W/cm<sup>2</sup>.

1 μ

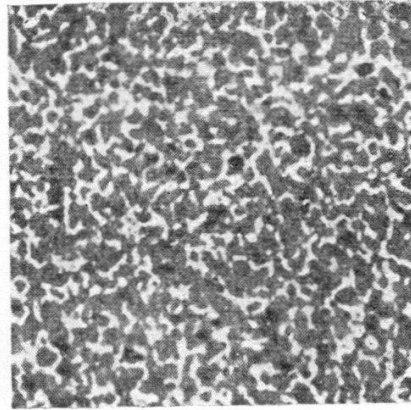


PHOTO E 22.

Lame de 8,8 mμ déposée à 20 mμ/min. sur un support à 20° C  
Observation microscopique à 9 W/cm<sup>2</sup>.

1 μ

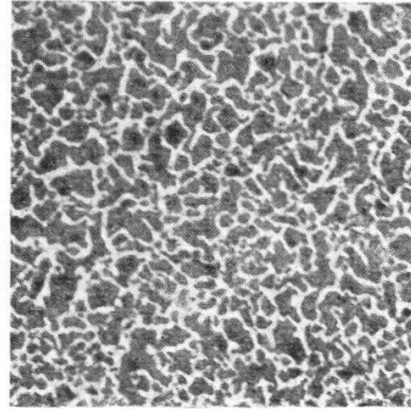


PHOTO E 23.

Même lame que E 22, mais chauffée à 60° C pendant 5.00 h.  
Observation microscopique à 9 W/cm<sup>2</sup>.

1 μ

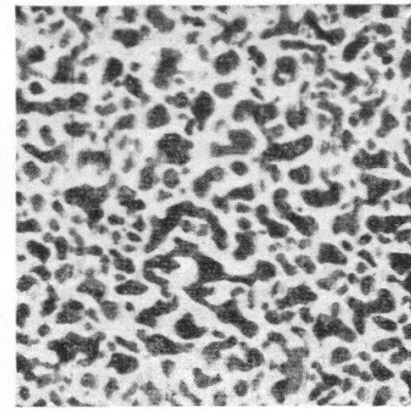
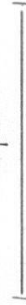


PHOTO E 24.

Même lame que E 22, mais chauffée à 110° C pendant 5.00 h.  
Observation microscopique à 9 W/cm<sup>2</sup>.

1 μ







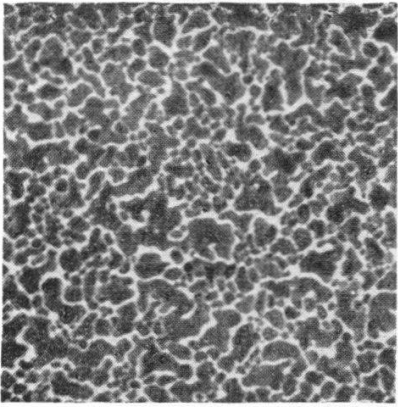


PHOTO E 25.

Même lame que E 22, mais observée avec une densité de puissance un peu supérieure à  $9 \text{ W/cm}^2$ .

1  $\mu$

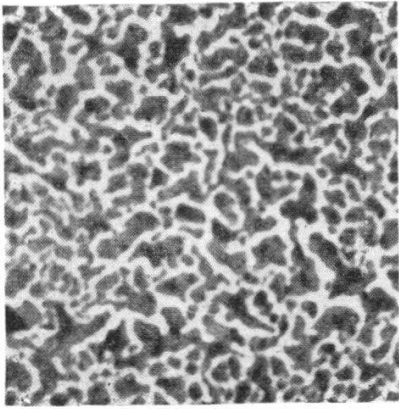


PHOTO E 26.

Même lame que E 22, mais observée avec une puissance de  $500\text{-}600 \text{ W/cm}^2$ .

1  $\mu$

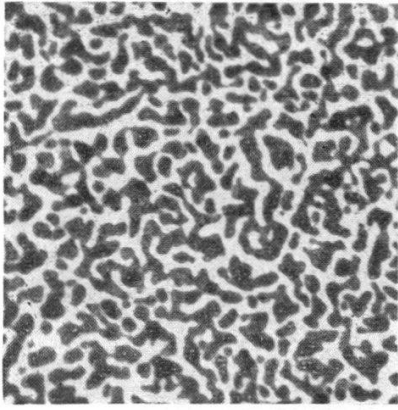


PHOTO E 27.

Lame de  $7 \text{ m}\mu$  déposée à  $15 \text{ m}\mu/\text{min}$ . sur un support à  $\infty 100^\circ \text{C}$

1  $\mu$

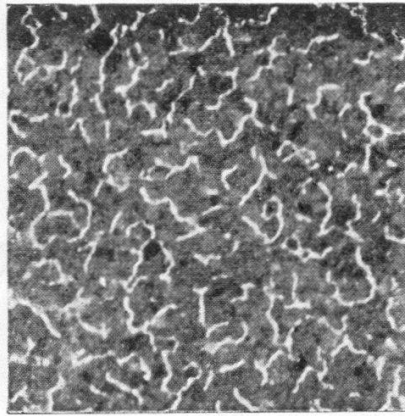


PHOTO E 28.

Lame de  $10,5 \text{ m}\mu$  déposée à  $20 \text{ m}\mu/\text{min}$ . sur un support à  $25^\circ \text{C}$   
Observation microscopique à  $9 \text{ W/cm}^2$ .

1  $\mu$

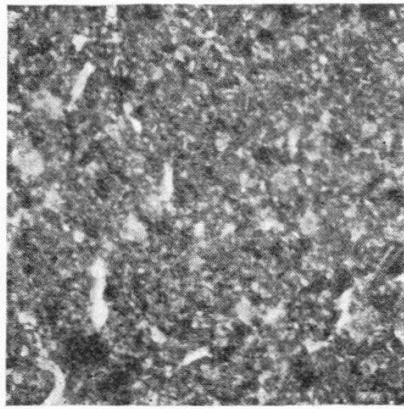


PHOTO E 29.

Lame de  $22 \text{ m}\mu$  déposée à  $220 \text{ m}\mu/\text{min}$ . sur un support à  $19^\circ \text{C}$   
Observation microscopique à  $9 \text{ W/cm}^2$ .

1  $\mu$

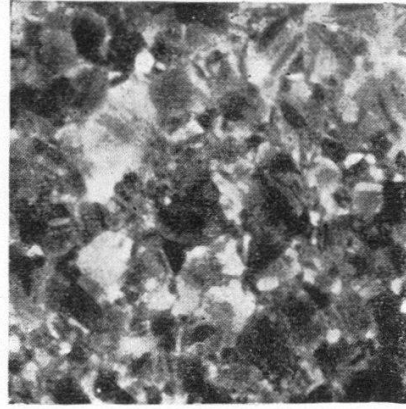


PHOTO E 30.

Même lame que E 29, mais observée avec une puissance de  $500\text{-}600 \text{ W/cm}^2$ .

1  $\mu$



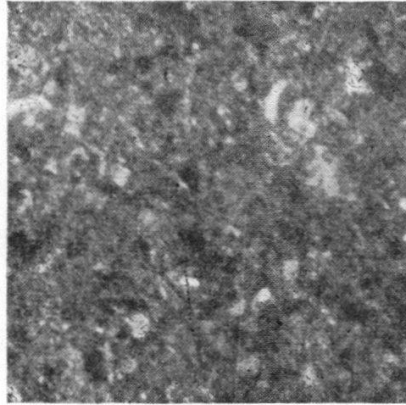
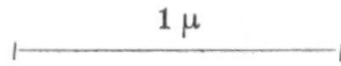


PHOTO E 31.  
Lame de  $25 \text{ m}\mu$  déposée à  $50 \text{ m}\mu/\text{min}$ .  
sur un support à  $22^\circ \text{ C}$   
Observation microscopique à  $9 \text{ W}/\text{cm}^2$ .



EVAPORATIONS LENTES

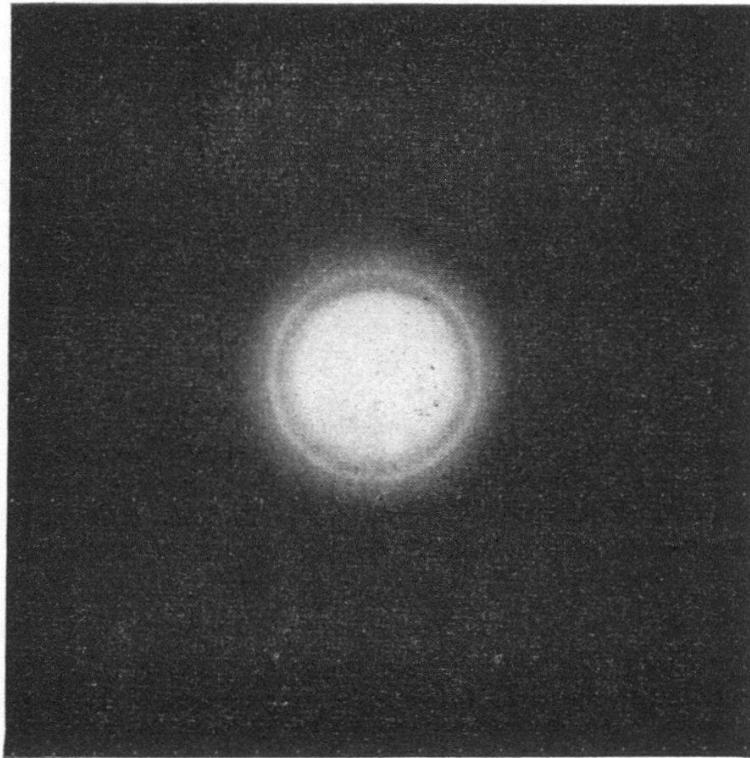


PHOTO D 1. —  $e_0 = 1,5 \text{ m}\mu$ .



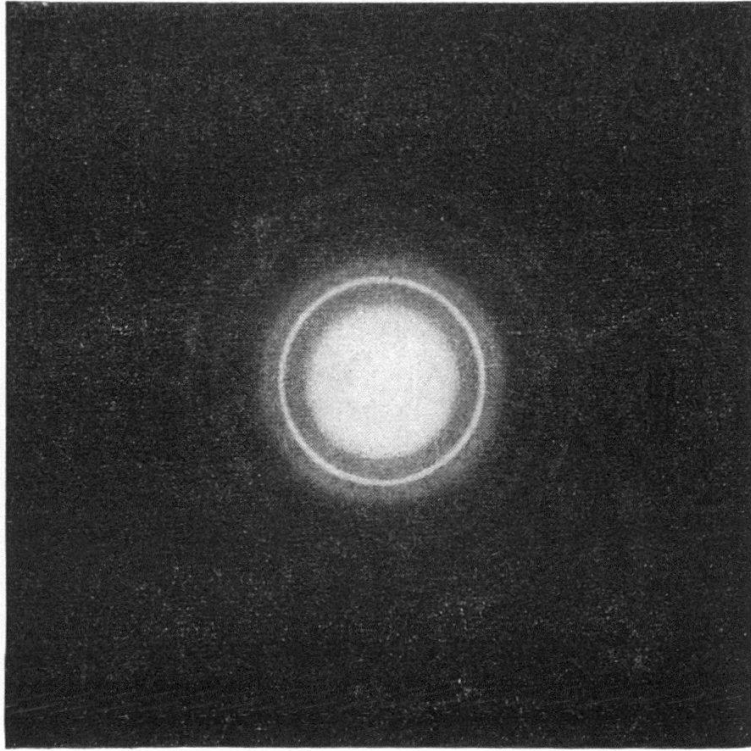


PHOTO D 2. —  $e_0 = 5 \text{ m}\mu$ .

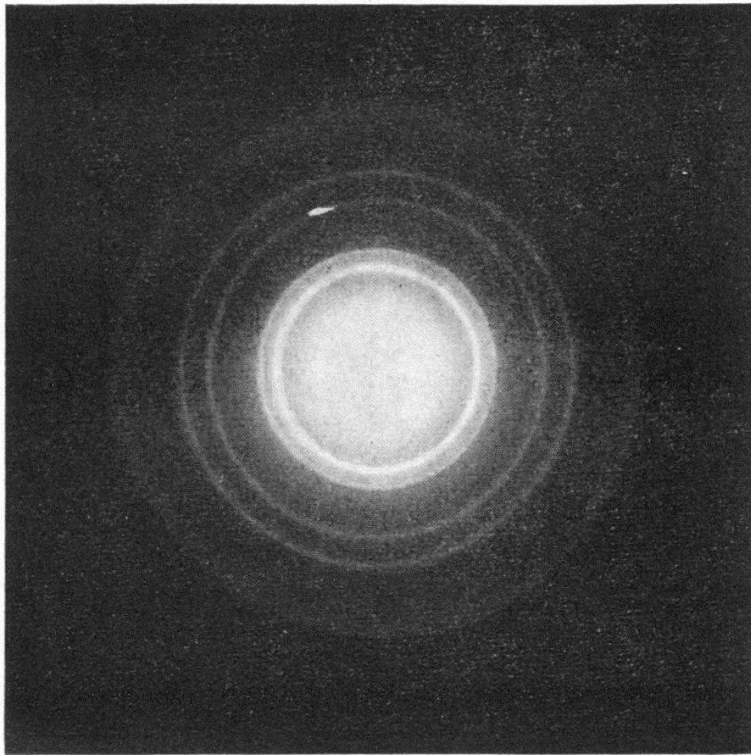


PHOTO D 3. —  $e_0 = 7,8 \text{ m}\mu$ .



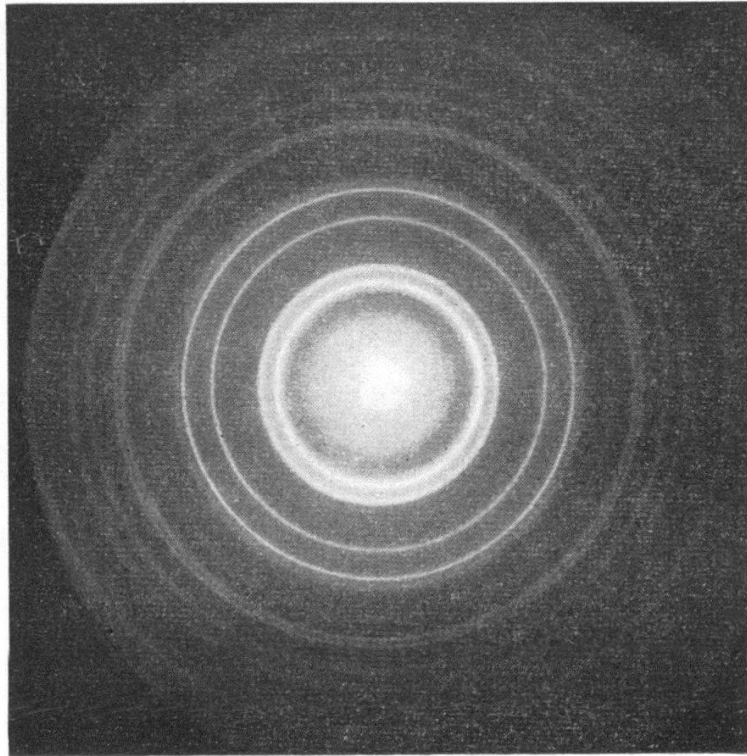


PHOTO D 4. —  $e_0 = 23 \mu$ .

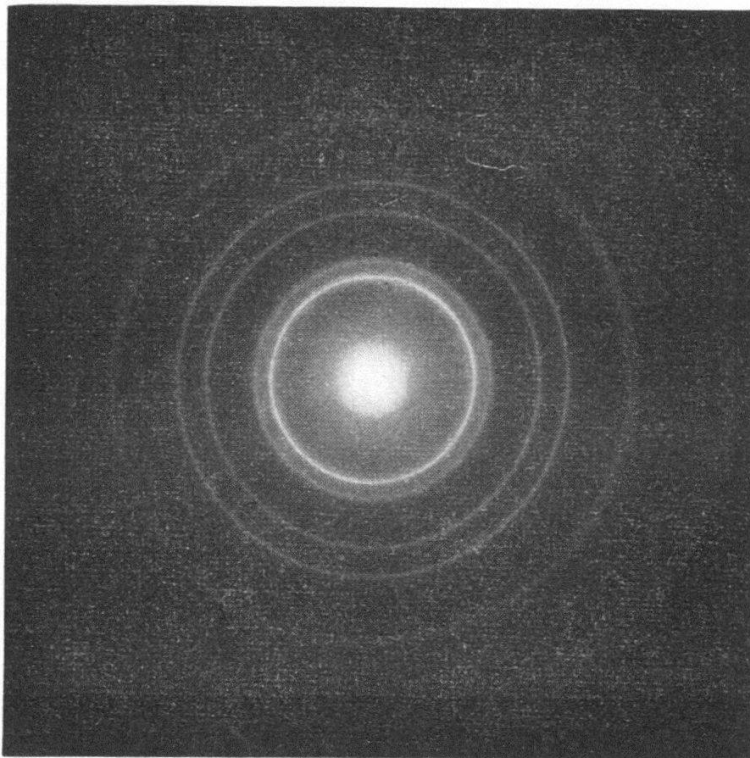


PHOTO D 5. —  $e_0 = 35 \mu$ .



